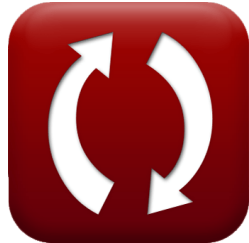


calculatoratoz.comunitsconverters.com

BJT-circuit Formules

[Rekenmachines!](#)[Voorbeelden!](#)[Conversies!](#)

Bladwijzer calculatoratoz.com, unitsconverters.com

Breedste dekking van rekenmachines en groeiend - **30.000_ rekenmachines!**

Bereken met een andere eenheid voor elke variabele - **In ingebouwde eenheidsconversie!**

Grootste verzameling maten en eenheden - **250+ metingen!**

DEEL dit document gerust met je vrienden!

[Laat hier uw feedback achter...](#)



Lijst van 20 BJT-circuit Formules

BJT-circuit ↗

1) Basisstroom van PNP-transistor gegeven emitterstroom ↗

fx $I_B = \frac{I_e}{\beta + 1}$

[Rekenmachine openen ↗](#)

ex $0.076924\text{mA} = \frac{5.077\text{mA}}{65 + 1}$

2) Basisstroom van PNP-transistor met behulp van collectorstroom ↗

fx $I_B = \frac{I_c}{\beta}$

[Rekenmachine openen ↗](#)

ex $0.076923\text{mA} = \frac{5\text{mA}}{65}$

3) Basisstroom van PNP-transistor met behulp van verzadigingsstroom ↗

fx $I_B = \left(\frac{I_{sat}}{\beta} \right) \cdot e^{\frac{V_{BE}}{V_t}}$

[Rekenmachine openen ↗](#)

ex $0.077086\text{mA} = \left(\frac{1.675\text{mA}}{65} \right) \cdot e^{\frac{5.15\text{V}}{4.7\text{V}}}$



4) Basisstroom van PNP-transistor met Common-Base Current Gain

fx $I_B = (1 - \alpha) \cdot I_e$

[Rekenmachine openen !\[\]\(cbe80b694ebd74fcfe136a095b608235_img.jpg\)](#)

ex $0.076155\text{mA} = (1 - 0.985) \cdot 5.077\text{mA}$

5) Collector-emitterspanning bij verzadiging

fx $V_{CE} = V_{BE} - V_{BC}$

[Rekenmachine openen !\[\]\(3e2231b1ad3ca8da8658228c00dd08e0_img.jpg\)](#)

ex $3.15\text{V} = 5.15\text{V} - 2\text{V}$

6) Collectorstroom met behulp van emitterstroom

fx $I_c = \alpha \cdot I_e$

[Rekenmachine openen !\[\]\(0d5ec72f61334709c3fc9450209b754f_img.jpg\)](#)

ex $5.000845\text{mA} = 0.985 \cdot 5.077\text{mA}$

7) Collectorstroom van BJT

fx $I_c = I_e - I_B$

[Rekenmachine openen !\[\]\(b64b40baaee5acddc1eab8538ba84754_img.jpg\)](#)

ex $5\text{mA} = 5.077\text{mA} - 0.077\text{mA}$

8) Common Mode Rejection Ratio

fx $\text{CMRR} = 20 \cdot \log 10 \left(\frac{A_d}{A_{cm}} \right)$

[Rekenmachine openen !\[\]\(aff7c69c44a5e015f18c35867ef3f5c3_img.jpg\)](#)

ex $54.40319\text{dB} = 20 \cdot \log 10 \left(\frac{105\text{dB}}{0.20\text{dB}} \right)$



9) Common-Base stroomversterking ↗

fx $\alpha = \frac{\beta}{\beta + 1}$

[Rekenmachine openen ↗](#)

ex $0.984848 = \frac{65}{65 + 1}$

10) Intrinsieke winst van BJT ↗

fx $A_o = \frac{V_A}{V_t}$

[Rekenmachine openen ↗](#)

ex $0.265957 = \frac{1.25V}{4.7V}$

11) Overgangsfrequentie van BJT ↗

fx $f_t = \frac{G_m}{2 \cdot \pi \cdot (C_{eb} + C_{cb})}$

[Rekenmachine openen ↗](#)

ex $101.3876\text{Hz} = \frac{1.72\text{mS}}{2 \cdot \pi \cdot (1.5\mu\text{F} + 1.2\mu\text{F})}$

12) Referentiestroom van BJT-spiegel ↗

fx $I_{ref} = I_c + \frac{2 \cdot I_c}{\beta}$

[Rekenmachine openen ↗](#)

ex $5.153846\text{mA} = 5\text{mA} + \frac{2 \cdot 5\text{mA}}{65}$



13) Thermische evenwichtsconcentratie van minderheidsladingsdrager

fx $n_{po} = \frac{(n_i)^2}{N_B}$

[Rekenmachine openen !\[\]\(e2376d476d06eb31946dc01a69a4403a_img.jpg\)](#)

ex $1.1E^{181}/m^3 = \frac{(4.5E^{91}/m^3)^2}{191/m^3}$

14) Totaal gedissipeerd vermogen in BJT

fx $P = V_{CE} \cdot I_c + V_{BE} \cdot I_B$

[Rekenmachine openen !\[\]\(0b5e7e25e8775f7e7e80906ada4f0021_img.jpg\)](#)

ex $16.14655\text{mW} = 3.15\text{V} \cdot 5\text{mA} + 5.15\text{V} \cdot 0.077\text{mA}$

15) Totaal geleverd vermogen in BJT

fx $P = V_{DD} \cdot (I_c + I_{in})$

[Rekenmachine openen !\[\]\(bd3b31712ad9bab5a241210fa6925cdd_img.jpg\)](#)

ex $16.125\text{mW} = 2.5\text{V} \cdot (5\text{mA} + 1.45\text{mA})$

16) Transconductantie door kortsluiting

fx $G_m = \frac{I_o}{V_{in}}$

[Rekenmachine openen !\[\]\(7bc43b319a082987e20f7bf78f4bab80_img.jpg\)](#)

ex $1.72\text{mS} = \frac{4.3\text{mA}}{2.50\text{V}}$



17) Uitgangsspanning van BJT-versterker

fx $V_o = V_{DD} - I_d \cdot R_L$

[Rekenmachine openen](#)

ex $1.3V = 2.5V - 0.3mA \cdot 4k\Omega$

18) Uitgangsweerstand van BJT

fx $R = \frac{V_{DD} + V_{CE}}{I_c}$

[Rekenmachine openen](#)

ex $1.13k\Omega = \frac{2.5V + 3.15V}{5mA}$

19) Unity-Gain-bandbreedte van BJT

fx $\omega_T = \frac{G_m}{C_{eb} + C_{cb}}$

[Rekenmachine openen](#)

ex $637.037Hz = \frac{1.72mS}{1.5\mu F + 1.2\mu F}$

20) Zenderstroom van BJT

fx $I_e = I_c + I_B$

[Rekenmachine openen](#)

ex $5.077mA = 5mA + 0.077mA$



Variabelen gebruikt

- A_{cm} Common Mode-versterking (*Decibel*)
- A_d Differentiële modusversterking (*Decibel*)
- A_o Intrinsieke winst
- C_{cb} Collector-Base Junction Capaciteit (*Microfarad*)
- C_{eb} Emitter-basis capaciteit (*Microfarad*)
- $CMRR$ Common Mode-afwijzingsratio (*Decibel*)
- f_t Overgangsfrequentie (*Hertz*)
- G_m Transconductantie (*Millisiemens*)
- I_B Basisstroom (*milliampère*)
- I_c Collector Stroom (*milliampère*)
- I_d Afvoerstroom (*milliampère*)
- I_e Zender Stroom (*milliampère*)
- I_{in} Invoerstroom (*milliampère*)
- I_o Uitgangsstroom (*milliampère*)
- I_{ref} Referentiestroom (*milliampère*)
- I_{sat} Verzadigingsstroom (*milliampère*)
- N_B Dopingconcentratie van base (*1 per kubieke meter*)
- n_i Intrinsieke dragerdichtheid (*1 per kubieke meter*)
- n_{po} Thermische evenwichtsconcentratie (*1 per kubieke meter*)
- P Stroom (*Milliwatt*)
- R Weerstand (*Kilohm*)



- R_L Weerstand laden (Kilohm)
- V_A Vroege spanning (Volt)
- V_{BC} Basiscollectorspanning (Volt)
- V_{BE} Basis-emitterspanning (Volt)
- V_{CE} Collector-emitterspanning (Volt)
- V_{DD} Voedingsspanning (Volt)
- V_{in} Ingangsspanning (Volt)
- V_o Uitgangsspanning (Volt)
- V_t Thermische spanning (Volt)
- α Common-Base stroomversterking
- β Stroomversterking gemeenschappelijke emitter
- ω_T Unity-Gain-bandbreedte (Hertz)



Constanten, functies, gebruikte metingen

- **Constante:** pi, 3.14159265358979323846264338327950288
Archimedes' constant
- **Constante:** e, 2.71828182845904523536028747135266249
Napier's constant
- **Functie:** log10, log10(Number)
Common logarithm function (base 10)
- **Meting:** Elektrische stroom in milliampère (mA)
Elektrische stroom Eenheidsconversie ↗
- **Meting:** Stroom in Milliwatt (mW)
Stroom Eenheidsconversie ↗
- **Meting:** Lawaai in Decibel (dB)
Lawaai Eenheidsconversie ↗
- **Meting:** Frequentie in Hertz (Hz)
Frequentie Eenheidsconversie ↗
- **Meting:** Capaciteit in Microfarad (μF)
Capaciteit Eenheidsconversie ↗
- **Meting:** Elektrische Weerstand in Kilohm ($\text{k}\Omega$)
Elektrische Weerstand Eenheidsconversie ↗
- **Meting:** Elektrische geleiding in Millisiemens (mS)
Elektrische geleiding Eenheidsconversie ↗
- **Meting:** Elektrisch potentieel in Volt (V)
Elektrisch potentieel Eenheidsconversie ↗
- **Meting:** Drager Concentratie in 1 per kubieke meter ($1/\text{m}^3$)
Drager Concentratie Eenheidsconversie ↗



Controleer andere formulelijsten

- Versterkingsfactor/winst Formules ↗
- BJT-circuit Formules ↗
- Common Mode-afwijzingsratio (CMRR) Formules ↗
- Interne capacitive effecten en hoogfrequent model Formules ↗
- Weerstand Formules ↗
- Transconductantie Formules ↗
- Spanning Formules ↗

DEEL dit document gerust met je vrienden!

PDF Beschikbaar in

[English](#) [Spanish](#) [French](#) [German](#) [Russian](#) [Italian](#) [Portuguese](#) [Polish](#) [Dutch](#)

5/17/2023 | 6:11:33 AM UTC

[Laat hier uw feedback achter...](#)

